

УДК 620.193

БАКТЕРИЦИДНАЯ И ЗАЩИТНАЯ СПОСОБНОСТЬ СМЕСИ ПОЛИАМИНОАМИДАЗОЛИНОВ В УСЛОВИЯХ СЕРОВОДОРОДНОЙ И УГЛЕКИСЛОТНОЙ КОРРОЗИИ И НАВОДОРОЖИВАНИЯ УГЛЕРОДИСТОЙ СТАЛИ

В.И. Вигдорович*, А.В. Аленкин**, А.В. Можаров*, А.В. Рязанов*

* Тамбовский государственный университет им. Г.Р. Державина

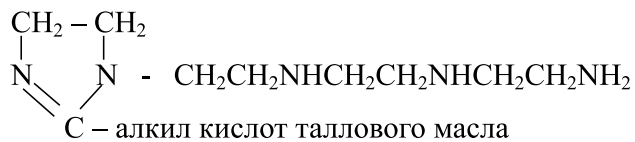
** НИИХИМПОЛИМЕР, г. Тамбов

Исследована защитная и бактерицидная способность смеси полиаминоамидазолинов на основе тетраэтиленпентамина и кислот таллового масла (ЭМ9) в условиях углекислотной и сероводородной коррозии и наводороживания углеродистой стали. Рассмотрено влияние концентрации ингибитора и H_2S , давления CO_2 в аэрированных и обескислороженных средах и pH. Для интерпретации результатов использованы данные коррозионных испытаний, электрохимической анодной и катодной поляризации, диффузии водорода через мембранию и электрохимического импеданса системы. Изучена эффективность подавления ингибитором численности СРБ и наработки ими H_2S .

ВВЕДЕНИЕ

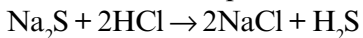
Разработка универсальных ингибиторов коррозии металлов является насущной задачей, т.к. позволяет существенно уменьшить номенклатуру подобных продуктов, и снять многие технологические вопросы их производства и применения. Под универсальностью понимается способность продуктов тормозить сразу несколько видов коррозионного воздействия или противодействовать негативному влиянию одновременно нескольких различных по природе стимуляторов коррозии. Такой подход в значительной мере снимает вопросы развития сырьевой базы, позволяет использовать исключительно отечественные ресурсы, облегчает решение проблемы экологической чистоты и импортозамещения. Особый интерес представляет использование возобновляемого природного сырья, которое имеется в стране в больших количествах. Речь идет, в частности, о применении компонентов таллового масла [1] или продуктов их химических превращений.

Целью настоящей работы является оценка универсального действия в качестве ингибитора коррозии смеси полиаминоамидазолинов, получаемых на базе тетраэтиленпентамина и кислот таллового масла – 1-(3,6-диаза-8-амин)-(С-алкилкислот таллового масла)-1,3-диазацикlopентен–2 с условной молекулярной формулой (аббревиатура – ЭМ9):



МЕТОДИКА ЭКСПЕРИМЕНТА

Исследования коррозионной стойкости углеродистой стали Ст3 проводили гравиметрически [2] при комнатной температуре с использованием шлифованных до 6 класса чистоты образцов (20x12x2 мм). Фоновые растворы во всех экспериментах содержали 50 г/л NaCl. Для введения сероводорода (25 – 100 мг/л) в процессе опыта в коррозионную среду добавляли рассчитанные количества сухого Na_2S и HCl в соответствии с реакцией:



Избыточное давление CO_2 ($1 \cdot 10^2$ и $2 \cdot 10^2$ кПа) создавалось в пластмассовых ячейках для проведения коррозионных испытаний и электрохимических измерений по [3]. Углекислый газ закачивали из баллона с последующим манометрическим контролем давления на протяжении всего опыта. Защитное действие Z рассчитано по формуле $Z = (K_0 - K_u)/K_0$, где нижние индексы относятся соответственно к среде без ингибитора и с ним (продолжительность коррозионных испытаний – 24 ч).

Потенциостатические (потенциостат П5827М) поляризационные измерения с шагом потенциала 0,02 В проведены в трехэлектродной ячейке из стекла «пирекс» с разделенным шлифом катодным и анодным пространствами. Вспомогательный

© В.И. Вигдорович, А.В. Аленкин, А.В. Можаров, А.В. Рязанов, 2006

электрод – гладкая платина, сравнения – водный насыщенный или нормальный хлоридсеребряный. Потенциалы пересчитаны на н.в.ш.

Поток диффузии водорода оценивали при $E_{\text{кор}}$ по методике [4, 5] с использованием двухкамерной ячейки типа ячейки Деванатхана (пирекс), разделенной вертикальной мембраной (сталь Ст3, толщина – 300 мкм). Для выяснения воздействия ингибирующего продукта на поток диффузии водорода через мембрану введен коэффициент $\gamma = i_{0,H} / i_H$, где нижние индексы относятся соответственно к потоку диффузии из фонового раствора и ингибираванной среды. С целью уточнения механизма действия ингибитора использована импедансная спектроскопия. Электрохимический импеданс стали измеряли в диапазоне частот ($\omega/2\pi$) 60 кГц – 10 мГц с амплитудой переменного напряжения 0,01 мВ посредством системы фирмы Solartron (Великобритания). Рабочий ($S = 0,785 \text{ см}^2$) и вспомогательный – гладкая платина электроды располагали coaxialьно (сравнения – хлоридсеребряный). Перед проведением измерений образцы полировали, обезжиривали и катодно активировали ($\Delta E = 0,2 \text{ В}$ от $E_{\text{кор}}$) в течение 10 – 15 мин. После снятия поляризации исследуемый электрод выдерживали 10 – 15 мин в рабочем растворе для установления квазистационарного потенциала. Расчеты проводили посредством программы, разработанной в Институте физической химии и электрохимии им. А.Н. Фрумкина РАН для ПК и IBM PC, позволяющей использовать эквивалентные схемы с числом элементов до 12 [6]. Критерием надежности оценки в ней является величина среднего квадратичного отклонения S . Эквивалентная схема принималась как удовлетворительная при $S \leq 5\%$ ^{*}. Для избежания использования локального максимума функции расчет повторяли многократно с различными начальными значениями эквивалентной схемы.

Методика расчета pH растворов с CO_2 , H_2S или с ними одновременно базировалась на следующем (справочные данные заимствованы в [7]). Так как растворимость H_2S при 20°C и $1,013 \cdot 10^5 \text{ Па}$ равна 0,447 г/на 100 г H_2O или 0,13 моль/л, то $\varTheta_{\text{H}_2\text{S}} = 7,69 [\text{H}_2\text{S}]_k$; $[\text{CO}_2]_k = 0,39 \varTheta_{\text{H}_2\text{S}}$; $K_a^I(\text{H}_2\text{CO}_3) = 4,5 \cdot 10^{-7}$; $K_a^{II}(\text{H}_2\text{CO}_3) = 4,8 \cdot 10^{-11}$; $K_a^I(\text{H}_2\text{S}) = 8,9 \cdot 10^{-8}$; $K_a^{II}(\text{H}_2\text{S}) = 1,3 \cdot 10^{-13}$.

Уравнение материального баланса имеет вид: $[\text{H}_2\text{S}]_{\text{исх}} = [\text{H}_2\text{S}]_{\text{равн}} (0,343 V_r/V_k) + 1 + K_a^I/[H^+] + K_a^{II}K_a^I/[H^+]^2$.

* Авторы выражают свою искреннюю благодарность зам. директора ИФХЭХ РАН, д.х.н., профессору Ю.И. Кузнецовой за предоставленную возможность проведения измерений.

С учетом уравнения электронейтральности: $[H^+] = [OH^-] + [HCO_3^-] + 2[CO_3^{2-}] + [HS^-] + 2[S^{2-}]$ после исключения переменных получаем:

$$[H^+] - \frac{K_w}{[H^+]} - \frac{[CO_2]_a K_{a,n}^I}{[H^+] (1 + 2K_{a,n}^{II}/[H^+])} - \frac{[H_2S]_{\text{равн}} \left(\frac{1 + 2K_{a,S}^{II}}{[H^+]} \right)}{(1 + K_{a,S}^I (1 + 0,343 V_a/V_a))} + \frac{K_{a,S}^{II}}{[H^+]} = 0$$

$K_{a,C}^I$ и $K_{a,S}^I$ – соответственные константы диссоциации H_2CO_3 и H_2S ; V_r и V_k – объемы газовой и жидкой фаз. Их отношение в расчетах принято равным 1. $\varTheta_{\text{H}_2\text{S}}$ варьировали в пределах 10^4 – $2 \cdot 10^5 \text{ Па}$, $[\text{H}_2\text{S}]_{\text{равн}}$ – в интервале 25 – 400 мг/л. $[\text{H}_2\text{S}]_{\text{исх}} = 2,94 \cdot 10^{-5} [\text{H}_2\text{S}]_{\text{равн}}$.

Изучение бактерицидной способности ингибитора проводили в питательной среде Постгейта следующего состава, г/л: $\text{NH}_4\text{Cl} – 1$; $\text{K}_2\text{HPO}_4 – 0,5$; $\text{MgSO}_4 \cdot 7\text{H}_2\text{O} – 2$; $\text{Na}_2\text{SO}_4 – 0,5$; $\text{CaCl}_2 – 0,1$; лактат кальция – 3,5; дрожжевой экстракт – 1 мг/л. Бактерицидную эффективность оценивали относительно сульфатредуцирующих бактерий по двум методикам:

- по подавлению численности микроорганизмов в соответствии с зависимостью

$$S, \% = 100 [(N_0 - N_u)/N_0],$$

где N_0 и N_u – численность бактериальных образований соответственно в фоновой и ингибираванной пробах;

- по подавлению нарабатывания микроорганизмами сероводорода (иодометрическое титрование). Следует учесть, что в этом варианте может сохраняться их жизнеспособность, но существенно угасает эффективность жизнедеятельности, наработка H_2S и опасность, в конечном счете, как стимуляторов биокоррозии.

ЭКСПЕРИМЕНТАЛЬНЫЕ РЕЗУЛЬТАТЫ

Бактерицидная способность ингибиравющей смеси. Бактерицидная активность ЭМ9 достаточно высока. Даже в питательной среде, где создаются наиболее комфортные условия для жизнедеятельности микроорганизмов, она, будучи функцией концентрации ингибитора, достигает 82% (таблица 1). Таким образом, в присутствии 100 мг/л ЭМ9 (90 мас.% активного начала) эффективная численность микроорганизмов снижается в 4,3 раза.

Высокую бактерицидную способность ЭМ9 подтвердили исследования результатов наработки СРБ сероводорода (рис. 1). Присутствие уже 25 мг/л ин-

Таблица I

Бактерицидная способность ($S, \%$) исследуемых составов по отношению к СРБ в питательной среде Постгейта

Концентрация ЭМ9, мг/л	$S, \%$
25	73
50	75
100	77
200	82

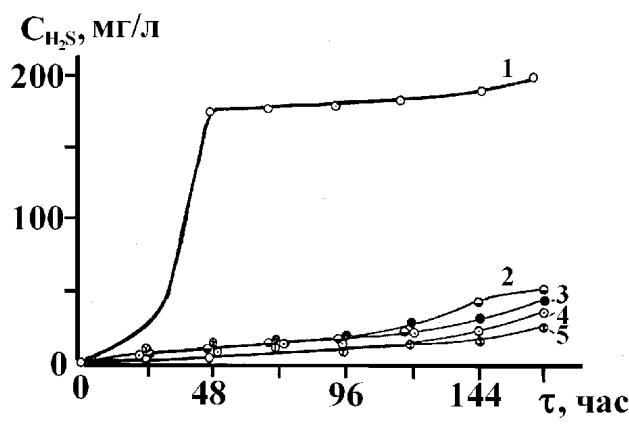


Рис. 1. Влияние концентрации ЭМ9 и продолжительности эксперимента на продуцирование сероводорода СРБ в питательной среде Постгейта.

$C_{\text{EM9}}, \text{мг/л}: 1 - 0; 2 - 25; 3 - 50; 4 - 100; 5 - 200.$

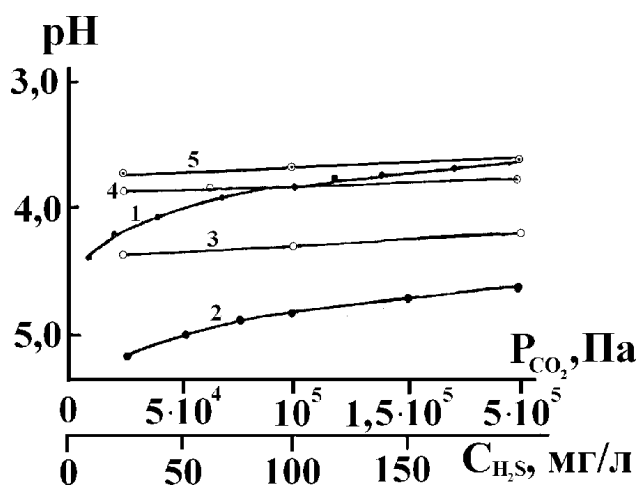


Рис. 2. Зависимость pH растворов от парциального давления CO_2 в газовой фазе и равновесной концентрации H_2S в растворе.

1. $\text{pH} = f(\tilde{\rho}_{\text{Ni}_2})$ при $\tilde{N}_{\text{H}_2\text{S}} = 0$.
2. $\text{pH} = f(\tilde{N}_{\text{H}_2\text{S}})$ при $\tilde{\rho}_{\text{Ni}_2} = 0$.
3. $\text{pH} = f(\tilde{N}_{\text{H}_2\text{S}})$ при $\tilde{\rho}_{\text{Ni}_2} = 0,1013 \cdot 10^5 \text{ Па}$.
4. $\text{pH} = f(\tilde{N}_{\text{H}_2\text{S}})$ при $\tilde{\rho}_{\text{Ni}_2} = 0,013 \cdot 10^5 \text{ Па}$.
5. $\text{pH} = f(\tilde{N}_{\text{H}_2\text{S}})$ при $\tilde{\rho}_{\text{Ni}_2} = 2,026 \cdot 10^5 \text{ Па}$.

гибритора резко снижает продуцирование H_2S микроорганизмами и не позволяет достичь так называемой экспоненциальной фазы их роста (рис. 1, кривые 1 и 2). Последующее повышение C_{EM9} еще в

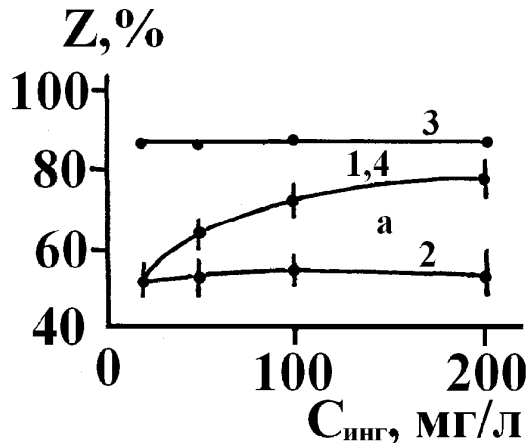


Рис. 3. Влияние pH и концентрации продукта ЭМ9 на его защитное действие при коррозии углеродистой стали Ст3 в растворах с 50 г/л NaCl и $E_{\text{Ni}}^{\text{даай}} = 10^5 \text{ Па}$. Комнатная температура. pH: 1 и 3 – 2; 2 и 4 – 4. 1 и 2 – необескислорожденная, 3 и 4 – обескислорожденная среда

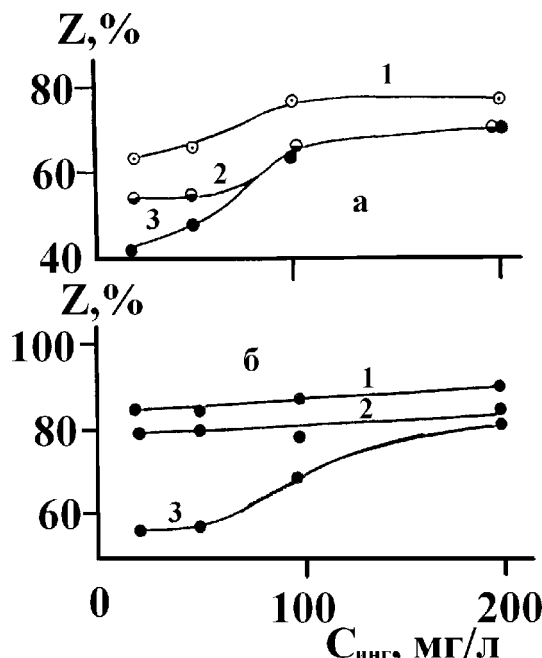


Рис. 4. Влияние pH и концентрации добавки ЭМ9 на ее защитное действие при коррозии углеродистой стали Ст3 в необескислорожденных растворах с 50 г/л NaCl и 25(а) и 100 мг/л (б) H_2S . pH: а. 1 – 2, 2 – 4, 3 – 5. б. 1 и 2 – 2, 3 и 4 – 4. Комнатная температура

большей мере тормозит наработку сероводорода, но действие 50 и 200 мг/л ЭМ9 практически одинаково.

Влияние CO_2 и H_2S на pH растворов. Часто принимается, что pH пластовых вод близок к 6. Однако, H_2CO_3 и H_2S , являясь донорами протонов, должны снижать величину водородного показателя среды. Расчет, естественно, подтвердил это предположение (рис. 2). В присутствии CO_2 с ростом его равновесного давления от $2,5 \cdot 10^4$ до $2 \cdot 10^5$ Па pH снижается от 4,3 до 3,86 (H_2S отсутствует). Наличие $\text{H}_2\text{S} 25 - 200$ мг/л при $\bar{P}_{\text{H}_2\text{S}} = 10^5$ Па ничего не меняет. 100 мг/л H_2S (в отсутствии CO_2) приводят к $\text{pH} = 5,0$, но также отнюдь не к 6.

Результаты весовых испытаний. Углекислотные среды. При $\text{pH} = 2$ (подкисление HCl) защитное действие ЭМ9 в необескислорожденных средах близко к 80%, но с уменьшением кислотности ($\text{pH} = 4$) снижается на 15 – 20% (рис. 3). В обескислорожденных растворах защитная эффективность превышает технологические требования ($\text{pH} = 2$, $Z = 88\%$) или приближается к ним ($\text{pH} = 4$, $C_{\text{EM9}} = 200$ мг/л, $Z = 81 - 82\%$).

Сероводородные среды. В присутствии 25 мг/л H_2S $dZ/dC_{\text{инг}} > 0$, а $dZ/d\text{pH} < 0$ (рис. 4а). Увеличение концентрации H_2S в 4 раза приводит к качественно тем же результатам (рис. 4б).

Сероводородно – углекислотные среды. В этих условиях изучена защитная эффективность ЭМ9 при 100 мг/л H_2S и $\bar{P}_{\text{H}_2\text{S}} = 10^5$ Па ($\text{pH} = 2$ и 4). Могло быть ожидать, по крайней мере, три варианта зависимости:

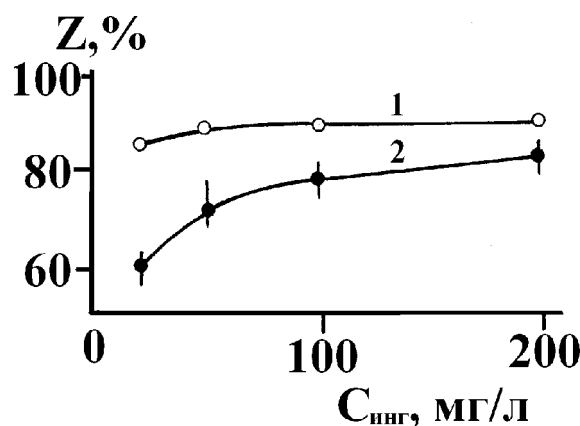


Рис. 5. Влияние pH и концентрации ЭМ9 на его защитное действие при коррозии углеродистой стали Ст3 в растворах с 50 г/л NaCl , $\bar{N}_{\text{H}_2\text{S}} = 100$ мг/л и равновесном давлении CO_2 , равном 10^5 Па. Комнатная температура, продолжительность эксперимента – 24 ч, необескислорожденная среда. pH : 1 – 2; 2 – 4

- случай, соответствующий введению лишь сероводорода, если адсорбционная способность H_2S существенно выше H_2CO_3 и CO_2 ;
- обратный случай, соответствующий введению только CO_2 ;
- возможен промежуточный вариант, когда оказываются с близким вкладом влияние оба стимулятора коррозии.

Экспериментально при $\text{pH} = 2$ защитный эффект заметно выше 80% (рис. 5), при $\text{pH} = 4$ приближается к 80%.

Диффузия водорода через мембрану. При $\text{pH} = 4$ и $\bar{N}_{\text{H}_2\text{S}} = 25$ мг/л (рис. 6). $\gamma = 2$ в присутствии 100 мг/л ЭМ9 и возрастает до 6 с повышением $C_{\text{инг}}$ вдвое. Наличие в растворе 50 – 100 мг/л H_2S более чем втрое увеличивает γ . Такая картина сохраняется с понижением pH до 2 (рис. 7). Таким образом, ЭМ9 – эффективный ингибитор наводороживания.

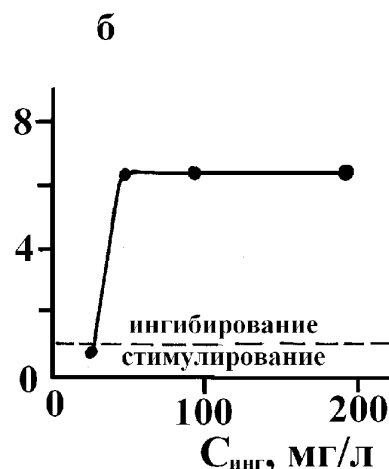
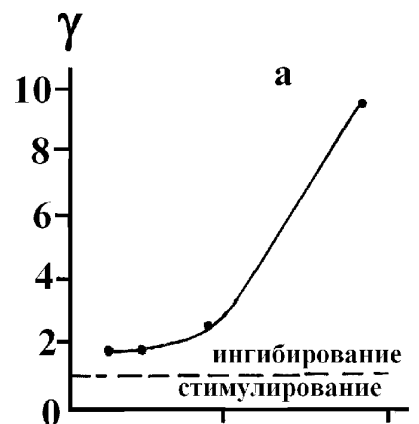


Рис. 6. Влияние концентрации смеси ЭМ9 на диффузию водорода через стальную (Ст3) мембрану из растворов, содержащих 50 г/л NaCl , при $\text{pH} = 4$. Концентрация H_2S , мг/л: а – 25; б – 100. i_0 (поток диффузии в неингибированных растворах), $\text{A}/\text{м}^2$: а – 0,128; б – 0,219 при $E_{\text{кор}}$ входной стороны мембранны. Комнатная температура, атмосфера – воздух

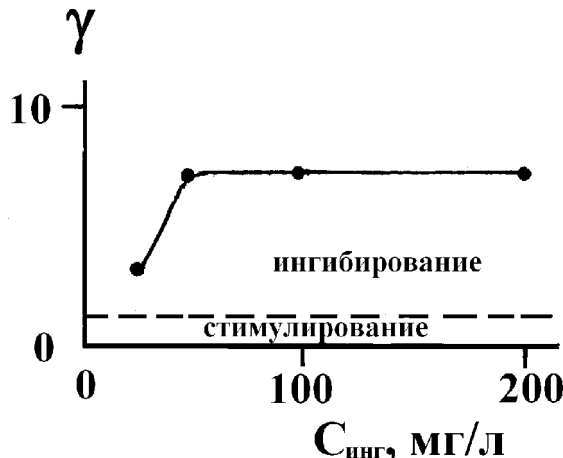


Рис. 7. Влияние концентрации смеси ЭМ9 на коэффициент подавления диффузии водорода через стальную (Ст3) мембрану из растворов с pH = 2, содержащих 50 г/л NaCl, 100 мг/л H₂S при E_{кор} ее входной стороны. i₀ (поток диффузии в неингибиционном растворе) – 0,27 А/м². Атмосфера – воздух, комнатная температура

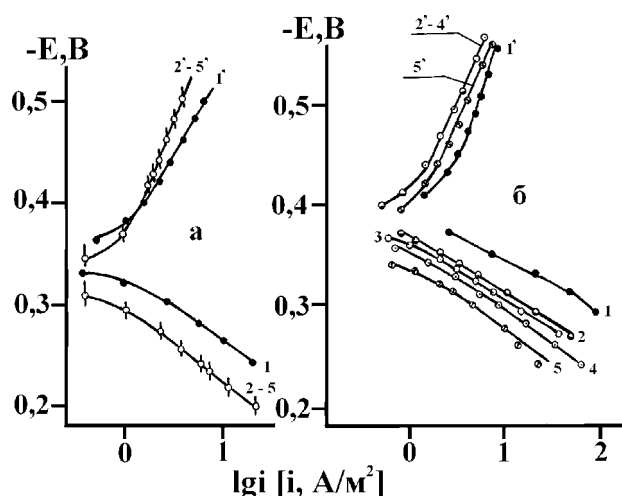


Рис. 8. Влияние концентрации добавки на кинетику катодной (1–5) и анодной (1–5) реакций при коррозии стали Ст3 в растворах с 50 г/л NaCl, содержащих дополнительно CO₂ при $\text{D}_{\text{Ni}_2}^{\text{дл}}$ = 10⁵ Па (а) или 100 мг/л H₂S (б). pH = 2 (необескислорожденные среды). C_{inhg}, мг/л. 1 и 1 – отсутствует; 2 и 2–20; 3 и 3–50; 4 и 4–100; 5 и 5–200. Комнатная температура неподвижный электрод

Данные поляризационных измерений (карбонатные среды). В подобных средах (D_{Ni_2} – 10⁵ Па, необескислорожденные растворы) присутствие 20 мг/л ингибитора (рис. 8а, концентрация активного начала – 18 мг/л) в области малых катодных поляризаций ЭМ9 стимулирует катодный процесс, при E < 0,38 В – тормозит его. Но эффекты в том и другом случае невелики. Одновременно ингибитор резко замедляет анодную реакцию (рис. 8а, кривые 1 и 2). Однако дальнейшее увеличение C_{inhg}

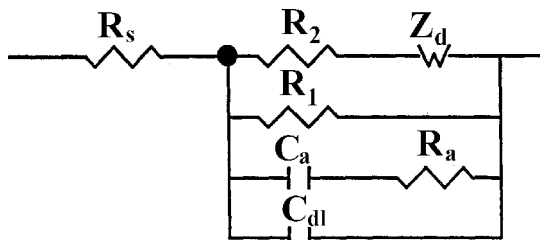


Рис. 9. Использованная эквивалентная схема

не сказывается на кинетике парциальных электродных реакций.

Хлоридно – сероводородные среды. 20 мг/л ЭМ9 во всей изученной области катодных потенциалов (рис. 8б) несколько снижают скорость катодной реакции. Увеличение C_{inhg} в 4 раза картины не меняет, а 200 мг/л ЭМ9 даже несколько ускоряют процесс (pH = 2). Скорость анодной реакции затормаживается весьма существенно ($d\lg i_a / d\lg C_{inhg} < 0$) во всем изученном интервале C_{EM9} (рис. 8б).

Результаты импедансной спектроскопии. Использована схема (рис. 9), близкая к предложенной в [8]. Отличие заключается в том, что в нее дополнительно введена цепочка R_a – C_a, характеризующая адсорбцию интермедиаторов, образующихся в анодном процессе. Физический смысл остальных элементов эквивалентной схемы следующий: R₁ – сопротивление переноса заряда в анодной реакции, R₂ – сопротивление переноса заряда катодной реакции восстановления O₂ и соответствующих параллельных процессов в связи с наличием в растворе H₂S, CO₂ или их смеси. Исследования проведены при pH = 4 и 2, когда, особенно во втором случае, возможна водородная деполяризация. Z_D = R_Dth(jωt)^p/(γωt)^p – обобщенный конечный импеданс диффузии. R_D = RTδ/(n²F²·C_{x=0}D) – сопротивление массопереноса, δ – толщина эффективного диффузионного слоя, D – коэффициент диффузии деполяризатора, C_{x=0} – поверхностная концентрация электроактивных частиц, 0 < p < 1. C_{dl} – емкость двойного электрического слоя, R_s – сопротивление раствора, τ = δ²/D – характеристическое время диффузии.

Согласно [9], подобная эквивалентная схема без оценки R_a – C_a пригодна для описания экспериментальных спектров импеданса стальных электродов в модельных пластовых водах, имеющих практически нейтральную реакцию среды. Однако, следует иметь в виду, что пластовых вод без H₂S, создающих pH ≤ 5, и (или) без CO₂ (pH ≈ 4), не бывает. Использование предложенной эквивалентной схемы в слабокислых средах требует обоснования. При pH = 6 и 4 преобладающим катод-

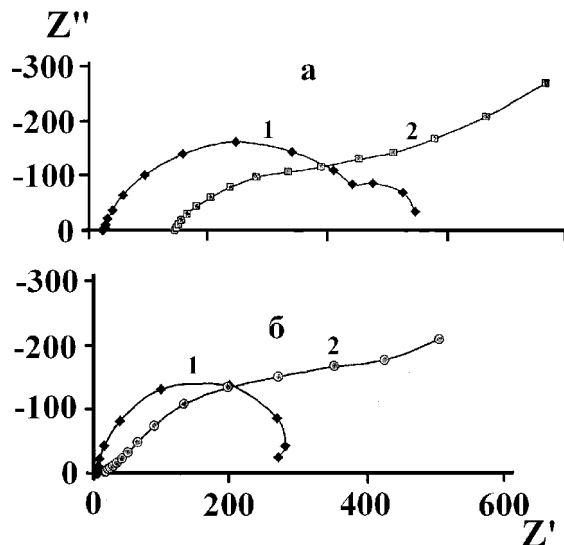


Рис. 10. Вид диаграммы Найквиста, полученной на стали Ст3 в углекислотных (а, $\tilde{\rho}_{\text{H}_2\text{O}} = 10^5 \text{ Па}$) и углекислотно-сероводородных (б, $\tilde{\rho}_{\text{H}_2\text{O}} = 10^5 \text{ Па}, \tilde{\rho}_{\text{H}_2\text{S}} = 100 \text{ мг/л}$) растворах, содержащих 50 г/л NaCl. 1 – неингибионная среда; 2 – 100 мг/л смеси ЭМ9. Комнатная температура

ным процессом может быть восстановление O_2 . С подкислением до $\text{pH} = 2$ появляется водородная деполяризация, причем перенапряжение реакции восстановления H_3O^+ (PVB) не связано с перенапряжением диффузии, а обусловлено замедленностью стадий разряда или химической рекомбинации. Импеданс PVB, в первом приближении, может быть смоделирован сопротивлением, которое включено параллельно с импедансами процессов восстановления O_2 и ионизации металла. При этом сопротивление переноса заряда PVB объединяется с сопротивлением переноса заряда анодной ре-

акции в R_1 . Литературные [8] и наши данные показывают, что теоретические и экспериментальные результаты удовлетворительно согласуются по критерию взвешенной суммы квадратичных отклонений при $\text{pH} = 2$ и 4. В качестве примера приведены результаты, полученные в средах с CO_2 и $\text{CO}_2 + \text{H}_2\text{S}$ (рис. 10). Таким образом, использованная эквивалентная схема (рис. 9) удовлетворительно описывает экспериментальные спектры импеданса в слабокислых средах, содержащих H_2S , CO_2 , добавку ЭМ9 или полученные в подобных неингибионных растворах.

Результаты обработки параметров эквивалентной схемы приведены в таблицах 2 и 3 (комнатная температура).

В таблице 2 в первом столбце вещество, стоящее после знака «+» введено в раствор помимо хлорида натрия.

В неингибионных растворах с введением сероводорода, CO_2 или этих продуктов одновременно сопротивление переноса катодной реакции меняется незначительно (таблица 2). Небольшие колебания R_2 представляются несущественными. Одновременно в присутствии H_2S наблюдается снижение сопротивления массопереноса, наличие CO_2 , напротив, его повышает (таблица 2). В сероводородных средах сопротивление переноса анодной реакции существенно уменьшается. В углекислотных и смешанных – оказывает обратное действие. Это коррелирует с результатами поляризационных измерений и весовых испытаний. H_2S обычно облегчает анодный процесс и увеличивает скорость коррозии, CO_2 – часто ведет себя как сравнительно малоэффективный ингибитор (с

Параметры электрохимического импеданса Ст3, полученные с использованием эквивалентной схемы рис. 9, в растворах, содержащих стимуляторы коррозии и наводороживания и 100 мг/л ЭМ9 ($\text{pH} = 2$). Числитель – фоновый раствор, знаменатель – содержащий 100 мг/л ЭМ9

Состав раствора	R_2 , Ом	R_D , Ом	τ , с	ρ	R_1 , Ом	C_a , мкФ/см ²	R_a , Ом	C_{dl} , мкФ/см ²
50 г/л NaCl	16/24	5450/9335	1,4/2,1	0,73/0,76	340/360	14/8,6	35/100	13/6
+100 мг/л H_2S	14/36	3740/11120	0,6/0,2	0,82/0,48	250/1502	4,3/29	44/55	26/5
+1,6 г/л CO_2^*	22/36	6120/3150	4/-	0,60/0,41	380/1680	13/17	13/173	27/18
+100 мг/л H_2O +46 г/л CO_2^*	25/17	3300/3700	6,4/6,6	0,72/0,61	360/620	64/2	11/28	65/3

* $\text{pH} = 4$

Таблица 3

Параметры электрохимического импеданса Ст3, полученные с использованием эквивалентной схемы рис. 9, в растворах, содержащих 50 мг/л NaCl, 100 мг/л H₂S и ЭМ9.

pH	C _{ЭМ9} , мг/л	R ₂ , Ом	R _D , Ом	τ , с	ρ	R ₁ Ом	C _a , мкФ/см ²	R _a , Ом	C _{dl} , мкФ/см ²
2	-	14	3740	0,6	0,82	250	14	835	13
	50	15	8150	0,2	0,48	950	9	100	6
	100	36	11120	0,2	0,46	1502	5	76	8
	200	33	14680	0,7	0,44	3610	4	125	7
4	-	18	2050	1,9	0,83	340	78	7	14
	50	6	6480	2,6	0,66	375	54	50	3
	100	6	7690	2,8	0,65	415	65	75	4
	200	13	9130	23	0,72	325	80	75	8

Z порядка 40%). Это, видимо, и находит отражение в характере изменения R₁. Емкость двойного электрического слоя в присутствии H₂S и CO₂ заметно возрастает, что вероятно, связано с появлением сульфидных и карбонатных образований как продуктов коррозии.

При введении 100 мг/л ингибитора величина R₂ практически остается той же (таблица 2), что коррелирует со слабым изменением скорости катодной реакции (рис. 8), либо с практической неизменностью кинетики этого процесса. Интересно, что R_D в карбонатных средах снижается, но, согласно экспериментальным данным, также уменьшается и скорость коррозии стали (рис. 3 – 5), хотя из самых общих соображений картина должна быть обратной. Исключение составляет сероводородный раствор (без CO₂), когда введение ЭМ9 изменяет R_D «требуемым» образом (таблица 2).

Ингибитор резко увеличивает сопротивление переноса анодной реакции R₁, но только в присутствии H₂S либо CO₂ или в сероводородно-углекислотной среде. Величина Z 100 мг/л добавки составляет соответственно 83, 77 и 42%, что коррелирует с данными весовых испытаний. Занижен лишь результат в комплексной сероводородно-углекислотной среде. Характер изменения C_a позволяет предположить, что в процессе анодного растворения стали образуются интремедиаты, а, следовательно, ионизация протекает в несколько стадий. Степень заполнения поверхности стали ЭМ9 достаточно велика, т.к. в его присутствии C_{dl} существенно уменьшается, особенно при наличии H₂S. В карбонатных средах его адсорбционная способность существенно понижена (необескислорожденные среды), что также хорошо коррелирует с результатами весовых испытаний (рис. 3).

Рассмотрим влияние концентрации ингибитора на параметры используемой эквивалентной схем-

мы (таблица 3). В сероводородных средах рост C_{ЭМ9} практически вдвое увеличивает сопротивление переноса катодной реакции (C_{инс} – 100...200 мг/л). Но такая картина характерна для растворов с pH = 2. Снижение кислотности (pH = 4), напротив, приводит к уменьшению R₂. Это противоречит экспериментальным данным, полученным весовым методом, т.к. ингибирование позволяет получить заметный защитный эффект (40 – 65%). Величина R_D, независимо от кислотности сероводородных растворов, возрастает симбатно C_{инс}. Так как R_D > R₂ и R_D > R₁, то можно было бы предположить, что скорость коррозии стали лимитируется массопереносом в катодной реакции. Но это противоречит данным поляризационных измерений (ПИ), т.к. одновременно ингибитор существенно снижает сопротивление переноса анодного процесса, что, напротив, хорошо коррелирует с ПИ. В связи с этим интересно было рассчитать защитный эффект ЭМ9 по данным R_D и R₁.

Среды с pH = 2. Z_i по характеру изменения R_D, Z₅₀, Z₁₀₀ и Z₂₀₀ соответственно равны (индекс – концентрация ЭМ9, мг/л): 54, 66 и 74%. Расчет по R₁ соответственно дает 73, 83 и 93%.

Среды с pH = 4. Z_i по изменению R_D равны: 44, 73 и 77%. По R₁ – соответственно имеем: 7, 18 и меньше 0. Данные, полученные по R_D при pH = 2, несколько занижены, а по R₁ – превышают экспериментальные результаты. Со снижением кислотности до pH = 4 R_D позволяет получить гораздо более реальные результаты, чем R₁.

Согласно характера концентрационного эффекта изменения C_a следует полагать, что механизмы анодного растворения стали Ст3 при pH = 2 и 4 существенно различаются. Их, видимо, нельзя описывать общей схемой, т.к. в более кислых растворах в анодном процессе образуются интремедиаты. При pH = 4 – их нет, либо концентрация

промежуточных частиц очень мала. Очевидно, и вклад массопереноса катодной реакции и R_1 существенно зависит от кислотности среды. Это легко понять, т.к. при $pH = 4$ доля реакции выделения водорода резко падает и определяющей становится кислородная поляризация.

ОБСУЖДЕНИЕ

Исследуемая смесь полиаминоамидазолинов, полученных с использованием кислот таллового масла и обозначенная аббревиатурой ЭМ9, несомненно обладает свойствами универсальной ингибиторной добавки. Мало того, что она уже в концентрации порядка 100 мг/л, а в ряде случаев и меньше (технологическая форма), существенно тормозит сероводородную коррозию и наводороживание углеродистой стали. Одновременно она эффективно подавляет разрушение металла в бескислороженных углекислотных средах. Важной особенностью ЭМ9 является выраженная (с $S \approx 77 - 80\%$) бактерицидная способность по отношению к сульфатредуцирующим бактериям. Этот состав, несомненно, перспективен как ингибитор в условиях коррозии углеродистой стали в пластовых водах нефтегазодобывающих управлений, содержащих отдельно или вместе H_2S и CO_2 как стимуляторы коррозии и наводороживания, либо при постоянной подаче сероводорода в результате жизнедеятельности СРБ.

Исследования электрохимического импеданса показывают, что при $pH = 4$ коррозия контролируется массопереносом деполяризатора, которым не обязательно является растворенный кислород. В качестве окислителя могут выступать серу- и углеродсодержащие частицы. Однако подвод последних к корродирующей поверхности также ограничивается скоростью массопереноса. Это доказы-

вается выполнением неравенств $R_D >> R_1$ и $R_D >> R_2$, слабой зависимостью сопротивления переноса анодной и катодной реакцией от $C_{инг}$ (таблица 3) и удовлетворительной корреляцией Z_i , полученных из данных весовых испытаний стали и электрохимического импеданса изученных систем.

Иная картина наблюдается при $pH = 2$, когда, очевидно, значительный вклад вносит реакция выделения водорода, скорость которой лимитируется кинетическими факторами (разряд, химическая рекомбинация). Вклад кислородной деполяризации и других катодных процессов, контролируемых диффузией, резко снижается. И хотя по прежнему $R_D >> R_1$ и R_D / R_2 составляет иногда 7–8 раз, контролирующей становится ионизация металла, которая резко затормаживается в присутствии ЭМ9. Это учитывается R_1 , в которое входит сопротивление переноса РВВ

СПИСОК ЛИТЕРАТУРЫ

1. Сумароков В.П., Ваньян М.Л., Аскинази А.П. Талловое масло. М.: Изд-во «Лесная промышленность». 1965. 147 с.
2. Романов В.В. Методы исследования коррозии металлов. М.: Металлургия. 1965. 280 с.
3. Кузнецов Ю.И., Вагапов Р.К. // Защита металлов. 2000. Т.36. №5. С. 520 – 524.
4. Кардаш Н.В., Батраков В.В. // Защита металлов. 1995. Т. 31. №4. С. 441 – 444.
5. Кардаш Н.В., Батраков В.В. // Защита металлов. 2000. Т.36. №1. С. 64 – 66.
6. Олейник С.В., Кузнецов Ю.И., Веселый С.С. и др. // Электрохимия. 1992. Т.28. №6. С. 856 – 859.
7. Лурье Ю.Ю. Справочник по аналитической химии. М.: Химия. 1971. 456 с.
8. Bonnel A., Dabosi F., Deslouis C. and all. // J. Electrochem. Soc. 1989. V. 130 №4. P. 753 – 761.